

## Приклади розв'язку задач

**Задача 1.** Довести самоспряженість оператору  $\hat{p}_x$ .

*Розв'язок.* За визначенням, у одномірному випадку оператор  $\hat{A}$  називається самоспряженим, якщо виконується умова

$$\int_{-\infty}^{\infty} \psi_1^* \hat{A} \psi_2 dx = \int_{-\infty}^{\infty} \psi_2 \hat{A}^* \psi_1^* dx, \text{ де } \psi_1 \text{ та } \psi_2 - \text{довільні функції.}$$

Спробуємо довести такі співвідношення, використовуючи явний вигляд операторів, що розглядаються. А саме, враховуючи, що  $\hat{p}_x = -i\hbar \partial/\partial x$ , маємо:

$$\int_{-\infty}^{\infty} \psi_1^* \hat{p}_x \psi_2 dx = \int_{-\infty}^{\infty} \psi_1^* (-i\hbar \partial/\partial x) \psi_2 dx = -i\hbar \int_{-\infty}^{\infty} \psi_1^* (\partial \psi_2 / \partial x) dx.$$

Беручи до уваги що  $(\partial \psi / \partial x) dx = d\psi$  та застосувавши формулу інтегрування по частинах отримаємо

$$\begin{aligned} -i\hbar \int_{-\infty}^{\infty} \psi_1^* (\partial \psi_2 / \partial x) dx &= -i\hbar \int_{-\infty}^{\infty} \psi_1^* d\psi_2 = \\ &= -i\hbar (\psi_1^* \psi_2) \Big|_{-\infty}^{\infty} + i\hbar \int_{-\infty}^{\infty} \psi_2 (\partial \psi_1^* / \partial x) dx. \end{aligned}$$

Так як на нескінченності хвильові функції прямують до нуля, то нульовим буде і перший доданок останньої суми. Якщо, згадати, що  $\hat{p}_x^* = i\hbar \partial/\partial x$ , то остаточно матимемо

$$i\hbar \int_{-\infty}^{\infty} \psi_2 (\partial \psi_1^* / \partial x) dx = \int_{-\infty}^{\infty} \psi_2 (i\hbar \partial/\partial x) \psi_1^* dx = \int_{-\infty}^{\infty} \psi_2 \hat{p}_x^* \psi_1^* dx.$$

Таким чином,

$$\int_{-\infty}^{\infty} \psi_1^* \hat{p}_x \psi_2 dx = \int_{-\infty}^{\infty} \psi_2 \hat{p}_x^* \psi_1^* dx,$$

Що і треба було довести.

**Задача 2.** Знайти наступні комутатори: а)  $[\hat{L}_x, y]$ ; б)  $[\hat{L}_y, \hat{p}_x]$ .

*Розв'язок.* Побудуємо спочатку явний вигляд операторів компонент моменту імпульсу  $\hat{L}_x$  та  $\hat{L}_y$ . У класичній фізиці вектор моменту імпульсу  $\vec{L}$  задається співвідношенням  $\vec{L} = [\vec{r}, \vec{p}]$ , тобто компоненти вектора моменту імпульсу пов'язані з компонентами радіус-вектора та вектора імпульсу наступним чином:

$$L_x = y p_z - z p_y; \quad L_y = z p_x - x p_z.$$

Відповідно,

$$\hat{L}_x = y \hat{p}_z - z \hat{p}_y; \quad \hat{L}_y = z \hat{p}_x - x \hat{p}_z.$$

а) Таким чином

$$\begin{aligned} [\hat{L}_x, y] &= \hat{L}_x y - y \hat{L}_x = (y \hat{p}_z - z \hat{p}_y) y - y (y \hat{p}_z - z \hat{p}_y) = \\ &= y \hat{p}_z y - z \hat{p}_y y - y y \hat{p}_z + y z \hat{p}_y. \end{aligned}$$

Скористаємось комутативними співвідношеннями між операторами компонент радіус-вектора та вектора імпульсу, а саме

$$\begin{aligned} [\hat{p}_z, y] &= 0 & \text{тобто} & \quad \hat{p}_z y = y \hat{p}_z \\ [\hat{p}_y, y] &= -i\hbar & & \quad \hat{p}_y y = y \hat{p}_y - i\hbar \end{aligned}$$

тобто перший та другий доданок суми можна замінити наступним чином:

$$\begin{aligned} y \hat{p}_z y - z \hat{p}_y y - y y \hat{p}_z + y z \hat{p}_y &= y y \hat{p}_z - z (y \hat{p}_y - i\hbar) - y y \hat{p}_z + y z \hat{p}_y = \\ &= y y \hat{p}_z - z y \hat{p}_y + z i\hbar - y y \hat{p}_z + y z \hat{p}_y. \end{aligned}$$

Враховуючи, що  $z y = y z$ , остаточно отримуємо

$$[\hat{L}_x, y] = i\hbar z.$$

б)

$$[\hat{L}_y, \hat{p}_x] = \hat{L}_y \hat{p}_x - \hat{p}_x \hat{L}_y = \left( z \hat{p}_x - x \hat{p}_z \right) \hat{p}_x - \hat{p}_x \left( z \hat{p}_x - x \hat{p}_z \right) = \\ = z \hat{p}_x \hat{p}_x - x \hat{p}_z \hat{p}_x - \hat{p}_x z \hat{p}_x + \hat{p}_x x \hat{p}_z .$$

Так як

$$\begin{aligned} [\hat{p}_z, \hat{p}_x] &= 0 & \hat{p}_z \hat{p}_x &= \hat{p}_x \hat{p}_z \\ [\hat{p}_x, z] &= 0, & \text{тобто} & \hat{p}_x z = z \hat{p}_x, \\ [\hat{p}_x, x] &= -i\hbar & \hat{p}_x x &= x \hat{p}_x - i\hbar \end{aligned}$$

Тоді, підставляючи ці рівності у другий, третій та четвертий доданки відповідно, отримуємо

$$\begin{aligned} z \hat{p}_x \hat{p}_x - x \hat{p}_z \hat{p}_x - \hat{p}_x z \hat{p}_x + \hat{p}_x x \hat{p}_z &= z \hat{p}_x \hat{p}_x - x \hat{p}_x \hat{p}_z - z \hat{p}_x \hat{p}_x + \\ + \left( x \hat{p}_x - i\hbar \right) \hat{p}_z &= -x \hat{p}_x \hat{p}_z + x \hat{p}_x \hat{p}_z - i\hbar \hat{p}_z = -i\hbar \hat{p}_z, \end{aligned}$$

тобто

$$[\hat{L}_y, \hat{p}_x] = -i\hbar \hat{p}_z .$$

**Задача 3.** Знайти власне значення оператора  $\hat{A} = -\frac{d^2}{dx^2}$ , що належить власній функції  $\psi_A = \sin 2x$ .

*Розв'язок.* Нагадаємо, що у випадку, коли  $\psi_A$  та  $\lambda$  є, відповідно, власною функцією та власним значенням оператора  $\hat{A}$ , то має виконуватися рівність

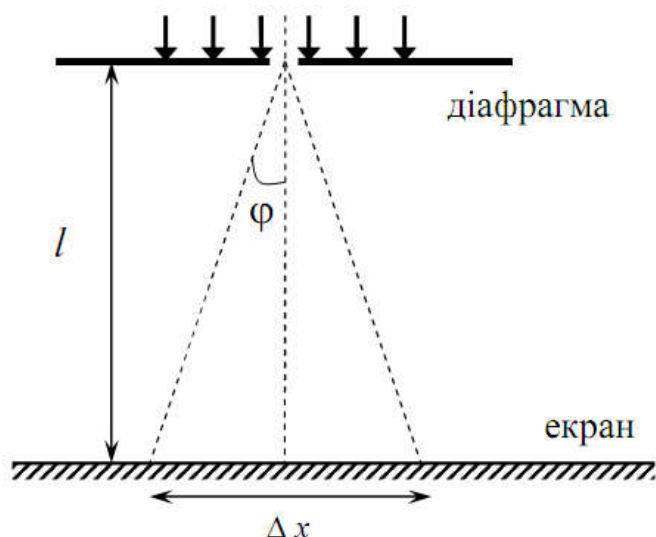
$$\hat{A} \psi_A = \lambda \psi_A . \quad (1)$$

Подіємо оператором  $\hat{A}$  на функцію  $\psi_A$ :

$$\hat{A} \psi_A = -\frac{d^2}{dx^2} \sin 2x = -\frac{d}{dx} (2 \cos 2x) = -2 (-2 \sin 2x) = 4 \sin 2x . \quad (2)$$

Порівнюючи формули (1) та (2) можемо зробити висновок, що шукане власне значення  $\lambda = 4$ .

**Задача 4.** Потік моноенергетичних електронів падає нормально на діафрагму з вузькою щілиною шириною  $b = 2,0$  мкм. Знайти швидкість електронів, якщо на екрані, який знаходиться від щілини на відстані  $l = 50$  см, ширина центрального дифракційного максимуму  $\Delta x = 0,36$  мм.



*Розв'язок.* З курсу оптики відомо, що границі центрального дифракційного максимуму при дифракції Фраунгофера на одній щілині спостерігаються під кутом  $\varphi$ , для якого

$$\sin \varphi = \lambda / b, \quad (1)$$

де кут  $\varphi$  відраховується від нормалі до діафрагми, а  $\lambda$  - довжина хвилі падаючого опромінення. Так як в даному випадку  $l \gg \Delta x$ , то можна

записати

$$\sin \varphi \approx \operatorname{tg} \varphi = \frac{\Delta x}{2l}. \quad (2)$$

Для потоку електронів використовуючи співвідношення де Бройля можна записати

$$\lambda = \frac{2\pi\hbar}{p}, \quad (3)$$

де  $p$  - імпульс електрону. У випадку, коли швидкість частинок набагато менша за швидкість світла

$$p = mV, \quad (4)$$

де  $m$  - маса електрону,  $V$  - його швидкість. Підставляючи вирази (2)-(4) у формулу (1) отримуємо

$$\frac{\Delta x}{2l} = \frac{2\pi\hbar}{bmV}, \quad (5)$$

звідки остаточно виражаємо

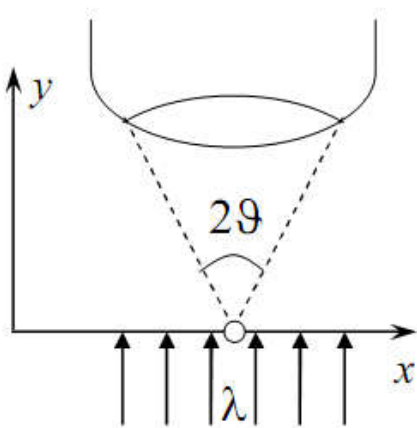
$$V = \frac{4 \pi \hbar l}{b m \Delta x}. \quad (6)$$

Враховуючи, що  $\hbar = 1,06 \cdot 10^{-34}$  Дж с,  $l = 0,5$  м,  $b = 2 \cdot 10^{-6}$  м,  $m = 9,11 \cdot 10^{-31}$  кг,  $\Delta x = 3,6 \cdot 10^{-4}$  м, то обчислення, проведені згідно з формулою (6), дозволяють записати

$$V \approx 1 \cdot 10^6 \text{ м/с.}$$

Отримане значення свідчить на користь можливості використання виразу (4).

**Задача 5.** Переконайтесь, що вимірювання координати  $x$  частинки за допомогою мікроскопу (див. рисунок) призводить до такої невизначеності її імпульсу  $\Delta p_x$ , що  $\Delta x \Delta p_x \geq \hbar$ . Зважте, що роздільна здатність мікроскопу  $d = \lambda / \sin \vartheta$ , де  $\lambda$  - довжина хвилі світла, яке використовується.



*Розв'язок.* Для частинки невизначеність її координати, яка вимірюється за допомогою мікроскопу, визначається роздільною здатністю приладу, тобто

$$\Delta x = d = \frac{\lambda}{\sin \vartheta}. \quad (1)$$

Водночас, якщо для освітлення використовується світло з довжиною хвилі  $\lambda$ , то імпульс налітаючих фотонів має лише компоненту, спрямовану паралельно осі  $y$ ,

величина якої

$$p_{y,ph} = \frac{\hbar \omega}{c} = \frac{2 \pi \hbar}{\lambda}, \quad (2)$$

де  $\hbar \omega$  - енергія фотону. Для того, щоб після розсіяння на частинці фотон потрапив у об'єктив мікроскопа, необхідно щоб напрям його імпульсу знаходився у конусі з кутом при вершині  $2 \vartheta$ . Якщо припустити, що після розсіяння компонента імпульсу  $p_{y,ph}$  не змінюється, то це означає, що

$$\frac{p_{x,ph}}{p_{y,ph}} < \operatorname{tg} \vartheta,$$

або

$$p_{x,ph} < \left( \frac{2\pi \hbar \operatorname{tg} \vartheta}{\lambda} \right). \quad (3)$$

Водночас, компонента  $p_{x,ph}$  з'явилася у фотона в результаті взаємодії з частинкою, що означає зміну компоненти імпульсу частинки на таку ж величину. Так як невідомий точний напрямок поширення фотону, то можемо стверджувати, що невизначеність імпульсу частинки

$$\Delta p_x \approx \left( \frac{2\pi \hbar \operatorname{tg} \vartheta}{\lambda} \right) \approx \left( \frac{2\pi \hbar \sin \vartheta}{\lambda} \right). \quad (4)$$

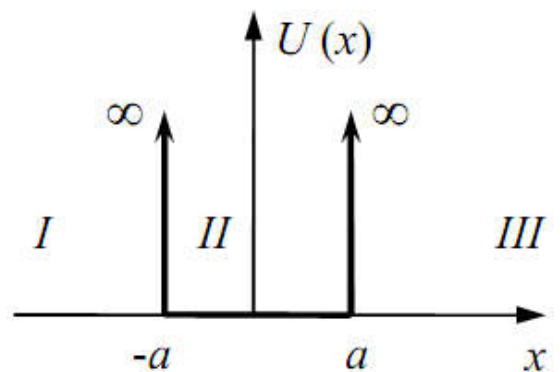
У виразі (4) враховано, що кут  $\vartheta$  малий і тому  $\operatorname{tg} \vartheta \approx \sin \vartheta$ . Об'єднуючи вирази (1) та (4) отримуємо:

$$\Delta x \Delta p_x \approx \frac{\lambda}{\sin \vartheta} \frac{2\pi \hbar \sin \vartheta}{\lambda} = 2\pi \hbar > \hbar.$$

**Задача 6.** Знайти власні значення енергії та хвильову функцію частинки масою  $m$ , потенціальна енергія якої описується виразом

$$U(x) = \begin{cases} \infty, & x \leq -a; \\ 0, & -a < x < a; \\ \infty, & x \geq a. \end{cases}$$

(задача про частинку, яка знаходиться в нескінченно глибокій одновірній прямокутній потенціальній ямі шириною  $2a$ ).



*Розв'язок.* Для знаходження хвильової функції  $\psi$  та власного значення енергії  $E$  частинки масою  $m$ , яка знаходиться у потенціальному полі  $U(x)$ , необхідно розв'язати рівняння Шрьодінгера, яке у стаціонарному одновірному випадку має вигляд

$$-\frac{\hbar^2}{2m} \frac{d^2 \psi}{dx^2} + U(x) \psi = E \psi. \quad (1)$$

Вигляд залежності потенціальної енергії від координати наведено на рисунку. Розіб'ємо весь простір на три області залежно від величини потенціальної енергії: область *I*, де  $x \leq -a$ ,  $U \rightarrow \infty$ ; область *II*, де  $-a < x < a$ ,  $U = 0$  та область *III*, де  $x \geq a$ ,  $U \rightarrow \infty$ ; та запишемо рівняння Шрьодінгера для кожної області окремо:

$$\begin{aligned} \frac{\hbar^2}{2m} \frac{d^2 \psi_I}{dx^2} + (E - U) \psi_I &= 0; \\ \frac{\hbar^2}{2m} \frac{d^2 \psi_{II}}{dx^2} + E \psi_{II} &= 0; \\ \frac{\hbar^2}{2m} \frac{d^2 \psi_{III}}{dx^2} + (E - U) \psi_{III} &= 0. \end{aligned} \quad (2)$$

Так як хвильова функція та її перша та друга похідні мають бути обмеженими, а також обмеженим є значення повної енергії частинки, то єдиноможливим розв'язком рівняння Шрьодінгера за межами інтервалу  $-a < x < a$  (в *I* та *III* областях) є нульове значення хвильової функції у цих точках простору, тобто

$$\psi_I = 0; \quad \psi_{III} = 0. \quad (3)$$

Якщо поглянути на цю ситуацію з іншої точки зору, то відповідно до класичних уявлень, частинка з кінцевим значенням повної енергії не може перебувати в області простору, де її потенційна енергія прямує до нескінченності. У квантовій механіці це твердження замінюється вимогою перетворення у нуль густини ймовірності  $\rho = |\psi(x)|^2 = \psi(x) \psi^*(x)$  (а отже і самої функції  $\psi(x)$ ) в тих точках, де  $U(x) \rightarrow \infty$ .

Рівняння Шрьодінгера для хвильової функції у області *II* перепишемо у вигляді

$$\frac{d^2 \psi_{II}}{dx^2} + k^2 \psi_{II} = 0, \quad (4)$$

де для скорочення введено позначення  $k^2 = 2mE/\hbar^2$ . Рівняння (4) не лінійне однорідне диференційне рівняння, його загальний розв'язок має вигляд

$$\psi_{II}(x) = A \cos(kx) + B \sin(kx). \quad (5)$$

де  $A$  та  $B$  – константи. Так як хвильова функція має бути неперервною, то необхідно, щоб в точках  $x = \pm a$  значення функцій з сусідніх областей були однакові, тобто

$$\begin{cases} \psi_{II}(x = -a) = \psi_I(x = -a); \\ \psi_{II}(x = a) = \psi_{III}(x = a). \end{cases} \quad (6)$$

Використовуючи отримані розв'язки (3) та (5), система рівнянь (6) може бути переписана у вигляді

$$\begin{cases} A \cos(ka) - B \sin(ka) = 0; \\ A \cos(ka) + B \sin(ka) = 0. \end{cases} \quad (7)$$

Очевидно, що система (7) має розв'язок лише в тому випадку, коли хоча б один з коефіцієнтів ( $A$  або  $B$ ) дорівнює нулеві. Звичайно, з математичної точки зору цілком прийнятним є і варіант коли одночасно і  $A = 0$ , і  $B = 0$ . Але в цьому випадку, як видно з рівнянь (3) та (5),  $\psi = 0$  при будь-яких значеннях  $x$ , тобто ймовірність знайти частинку є нульовою у всіх точках простору, а це є неприйнятним з фізичної точки зору. Таким чином, розв'язки розбиваються на два класи.

1.  $B = 0$ ,  $A \neq 0$ ,  $\psi_{II}(x) = A \cos(kx)$ , причому в цьому випадку

$$\cos(ka) = 0,$$

а отже

$$k = \frac{\pi}{2a} n, \text{ де } n = 1, 3, 5 \dots \text{ (непарне ціле число).}$$

2.  $A = 0$ ,  $B \neq 0$ ,  $\psi_{II}(x) = B \sin(kx)$ , причому в цьому випадку

$$\sin(ka) = 0,$$

а отже



$$k = \frac{\pi}{2a} n, \text{ де } n = 2, 4, 6 \dots \text{ (парне ціле число).}$$

В останньому випадку до ряду парних чисел не включено 0, бо тоді  $\psi_{II} \equiv 0$ , а такий розв'язок, як зазначалося вище, не має фізичного змісту.

Узагальнюючи отримані на даний момент результати, запишемо

$$\psi(x) = \begin{cases} 0, & x \leq -a; \\ A \cos\left(\frac{\pi n}{2a} x\right), & n = 1, 3, 5 \dots \\ B \sin\left(\frac{\pi n}{2a} x\right), & n = 2, 4, 6 \dots \\ 0, & x \geq a. \end{cases} \quad -a < x < a; \quad (8)$$

Крім того,

$$k^2 = \frac{2mE}{\hbar^2} = \left(\frac{\pi}{2a} n\right)^2, \quad n = 1, 2, 3, 4, 5 \dots,$$

що дає змогу визначити можливі значення енергії

$$E_n = \frac{\hbar^2 \pi^2 n^2}{8ma^2}, \quad n = 1, 2, 3, 4, 5 \dots \quad (9)$$

Тобто енергетичний спектр частинки у даному випадку дискретний, величина повної енергії частинки залежить від квантового числа  $n$ . Для знаходження коефіцієнтів  $A$  та  $B$  скористаємось умовою нормування хвильової функції, яка у одномірному випадку має вигляд

$$\int_{-\infty}^{\infty} |\psi|^2 dx = 1. \quad (10)$$

Розглянемо для визначеності випадок, коли  $n = 1$ . Тоді

$$\begin{aligned} \int_{-\infty}^{\infty} |\psi|^2 dx &= \int_{-\infty}^{-a} |\psi_I|^2 dx + \int_{-a}^a |\psi_{II}|^2 dx + \int_a^{\infty} |\psi_{III}|^2 dx = \int_{-a}^a |\psi_{II}|^2 dx = \\ &= \int_{-a}^a A^2 \cos^2\left(\frac{\pi}{2a} x\right) dx = \int_{-a}^a A^2 \left[ \frac{\cos(\pi x/a) + 1}{2} \right] dx = A^2 a = 1. \end{aligned}$$

Тобто,  $A = 1/\sqrt{a}$ . Цілком аналогічно можна отримати, що  $B = 1/\sqrt{a}$ . Таким чином, остаточний вигляд шуканої хвильової функції наступний

$$\psi(x) = \begin{cases} 0, & x \leq -a; \\ \frac{1}{\sqrt{a}} \cos\left(\frac{\pi n}{2a} x\right), & n = 1, 3, 5 \dots \\ \frac{1}{\sqrt{a}} \sin\left(\frac{\pi n}{2a} x\right), & n = 2, 4, 6 \dots \\ 0, & x \geq a. \end{cases} \quad -a < x < a; \quad (11)$$

Для прикладу розглянемо декілька хвильових функцій, які описують можливі стани частинки у заданому потенціальному полі і відповідають початковим значенням квантового числа  $n$ .

$n = 1$ . Користуючись виразами (11) та (9) можемо сказати, що даний стан частинки описується хвильовою функцією

$$\psi_1(x) = \begin{cases} 0, & |x| \geq a; \\ \frac{1}{\sqrt{a}} \cos\left(\frac{\pi x}{2a}\right), & |x| < a, \end{cases}$$

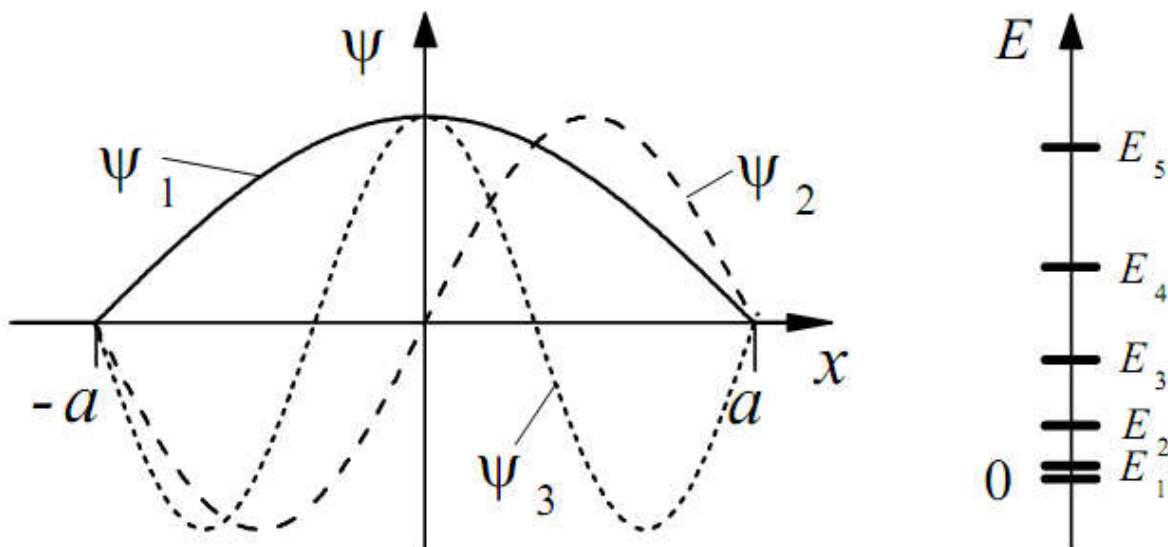
а енергія частинки при цьому дорівнює  $E_1 = \frac{\hbar^2 \pi^2}{8ma^2}$ . Це найменше можливе значення енергії, тобто стан при  $n = 1$  є основним.

$n = 2$ . В цьому випадку енергія частинки  $E_2 = \frac{\hbar^2 \pi^2}{2ma^2}$ , а хвильова функція

$$\psi_2(x) = \begin{cases} 0, & |x| \geq a; \\ \frac{1}{\sqrt{a}} \sin\left(\frac{\pi x}{a}\right), & |x| < a. \end{cases}$$

$n = 3$ . Для цього стану  $E_3 = \frac{9\hbar^2 \pi^2}{8ma^2}$ ,  $\psi_3(x) = \begin{cases} 0, & |x| \geq a; \\ \frac{1}{\sqrt{a}} \cos\left(\frac{3\pi x}{2a}\right), & |x| < a. \end{cases}$

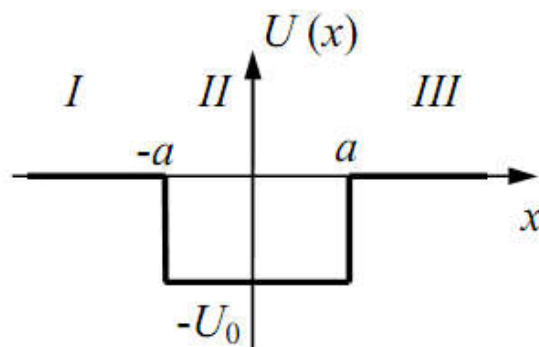
Вигляд декількох хвильових функцій та частини енергетичного спектру частинки у нескінченно глибокій потенціальній ямі наведено на рисунках.



**Задача 7.** Знайти власні значення енергії  $E$  та хвильову функцію  $\psi$  частинки масою  $m$ , потенціальна енергія якої описується виразом

$$U(x) = \begin{cases} 0, & |x| \geq a \\ -U_0, & |x| < a \end{cases}$$

(задача про частинку в потенціальній ямі скінченної глибини). Розглянути випадок, коли  $-U_0 < E < 0$ .



*Розв'язок.* Як і в попередній задачі, розіб'ємо весь простір на три області залежно від величини потенціальної енергії: область  $I$ , де  $x \leq -a$ ,  $U = 0$ ; область  $II$ , де  $-a < x < a$ ,  $U = -U_0$  та область  $III$ , де  $x \geq a$ ,  $U = 0$ ; і запишемо рівняння Шрьодінгера для кожної області окремо:

$$\begin{aligned} \frac{\hbar^2}{2m} \frac{d^2 \psi_I}{dx^2} + E \psi_I &= 0; \\ \frac{\hbar^2}{2m} \frac{d^2 \psi_{II}}{dx^2} + (U_0 + E) \psi_{II} &= 0; \\ \frac{\hbar^2}{2m} \frac{d^2 \psi_{III}}{dx^2} + E \psi_{III} &= 0. \end{aligned} \tag{1}$$

Якщо врахувати умову  $-U_0 < E < 0$ , то систему (1) можна переписати наступним чином:

$$\begin{aligned}\frac{d^2 \psi_I}{dx^2} - \frac{2m}{\hbar^2} |E| \psi_I &= 0; \\ \frac{d^2 \psi_{II}}{dx^2} + \frac{2m}{\hbar^2} (U_0 - |E|) \psi_{II} &= 0; \\ \frac{d^2 \psi_{III}}{dx^2} - \frac{2m}{\hbar^2} |E| \psi_{III} &= 0.\end{aligned}\tag{2}$$

Ввівши позначення

$$\beta = \sqrt{\frac{2m}{\hbar^2} |E|}, \quad k = \sqrt{\frac{2m}{\hbar^2} (U_0 - |E|)}\tag{3}$$

остаточно сукупність рівнянь Шрьодінгера можна записати у вигляді

$$\begin{aligned}\frac{d^2 \psi_I}{dx^2} - \beta^2 \psi_I &= 0; \\ \frac{d^2 \psi_{II}}{dx^2} + k^2 \psi_{II} &= 0; \\ \frac{d^2 \psi_{III}}{dx^2} - \beta^2 \psi_{III} &= 0.\end{aligned}\tag{2a}$$

Зауважимо, що коефіцієнти  $\beta$  та  $k$  є дійсними. Розв'язки диференціальних рівнянь (2a) мають вигляд:

$$\begin{aligned}\psi_I &= A_1 \exp(-\beta x) + B_1 \exp(\beta x); \\ \psi_{II} &= A_2 \cos(kx) + B_2 \sin(kx); \\ \psi_{III} &= A_3 \exp(-\beta x) + B_3 \exp(\beta x),\end{aligned}\tag{4}$$

де  $A_i$  та  $B_i$  ( $i = \overline{1, 3}$ ) – константи, які спробуємо надалі визначити.

Оскільки хвильова функція має бути обмеженою при будь-яких значеннях аргументу, то щоб не допустити необмеженого зростання функції  $\psi_I$  при  $x \rightarrow -\infty$  та функції  $\psi_{III}$  при  $x \rightarrow \infty$  необхідно покласти  $A_1 = 0$  та  $B_3 = 0$  відповідно.

Зазначимо, що так як залежність  $U(x)$  є симетричною функцією відносно початку координат, то цілком очікуваним є те, що і густина ймовірності знаходження частинки в різних точках простору також має мати таку саму симетрію. Це, в свою чергу, означає, що повинна виконуватись рівність  $|\psi_I(-x)|^2 = |\psi_{III}(x)|^2$ , тобто мають бути рівними квадрати модулів хвильових функцій в областях  $I$  та  $III$  для точок, однаково віддалених від початку координат. А це можливо лише у випадку, коли

$$B_1^2 = A_3^2. \quad (5)$$

Тобто, якщо припустити, що  $B_1$  та  $A_3$  дійсні, то вони мають бути пов'язані між собою наступним чином:

$$B_1 = A_3 \quad \text{або} \quad B_1 = -A_3. \quad (5a)$$

Хвильова функція, як і її перша похідна має бути неперервною, то необхідно, щоб виконувались умови

$$\begin{aligned} \psi_{II}(x = -a) &= \psi_I(x = -a); \\ \left( \frac{d\psi_{II}}{dx} \right) \Big|_{x=-a} &= \left( \frac{d\psi_I}{dx} \right) \Big|_{x=-a}; \\ \psi_{II}(x = a) &= \psi_{III}(x = a); \\ \left( \frac{d\psi_{II}}{dx} \right) \Big|_{x=a} &= \left( \frac{d\psi_{III}}{dx} \right) \Big|_{x=a}. \end{aligned} \quad (6)$$

або, використовуючи (4), їх можна переписати у вигляді

$$\begin{aligned} A_2 \cos(ka) - B_2 \sin(ka) &= B_1 \exp(-\beta a); \\ k A_2 \sin(ka) + k B_2 \cos(ka) &= \beta B_1 \exp(-\beta a); \\ A_2 \cos(ka) + B_2 \sin(ka) &= A_3 \exp(-\beta a); \\ -k A_2 \sin(ka) + k B_2 \cos(ka) &= -\beta A_3 \exp(-\beta a). \end{aligned} \quad (6a)$$

Більш зручно провести аналіз системи рівнянь (6a), якщо провести її певне перетворення. Для цього додамо перше та третє рівняння і віднімемо від другого четверте; крім того від третього рівняння перше та додамо між собою друге та четверте. В результаті отримаємо наступну систему

$$\begin{aligned}
2A_2 \cos(ka) &= (B_1 + A_3) \exp(-\beta a) ; \\
2k A_2 \sin(ka) &= \beta (B_1 + A_3) \exp(-\beta a); \\
2B_2 \sin(ka) &= (A_3 - B_1) \exp(-\beta a); \\
2k B_2 \cos(ka) &= -\beta (A_3 - B_1) \exp(-\beta a).
\end{aligned}
\tag{6б}$$

Врахуємо, що всі чотири коефіцієнти ( $A_2$ ,  $A_3$ ,  $B_1$  та  $B_2$ ) одночасно не можуть бути рівними нулеві (бо в цьому випадку нульовою є ймовірність знайти частинку у будь-якій точці простору), а також що одночасно з системою (6б) має виконуватись і умова (5а). У зв'язку з цим розв'язки розпадаються на два класи.

1. Якщо  $B_1 = A_3$ , то з двох останніх рівнянь системи (6б) випливає, що  $B_2 = 0$ , а з двох перших – що  $A_2 \neq 0$  і що має виконуватись умова

$$k \operatorname{tg}(ka) = \beta. \tag{7}$$

Останнє співвідношення можна отримати, якщо поділити друге рівняння системи (6б) на перше.

2. Якщо  $B_1 = -A_3$ , то з двох перших рівнянь системи (6б) випливає, що  $A_2 = 0$ , а з двох останніх – що  $B_2 \neq 0$  і що має виконуватись умова

$$k \operatorname{ctg}(ka) = -\beta. \tag{8}$$

Зазначимо, що умови (7) та (8) одночасно не можуть виконуватись, так як в цьому випадку мала б мати місце також і рівність  $k^2 = -\beta^2$ , що неможливо через те що і  $k$ , і  $\beta$  дійсні. Врахувавши явний вигляд цих коефіцієнтів (3), можемо остаточно зробити висновки, що стани, в яких може знаходитися частинка розділяються на два наступні класи.

Можливі значення енергії в першому класі є коренями рівняння

$$\sqrt{(U_0 - |E|)} \operatorname{tg}\left(\sqrt{2m(U_0 - |E|)} \frac{a}{\hbar}\right) = \sqrt{|E|}, \tag{7a}$$

кожному значенню енергії відповідає парна хвильова функція

$$\psi(x) = \begin{cases} B_1 \exp\left(\sqrt{\frac{2m}{\hbar^2}} |E| x\right), & x \leq -a; \\ A_2 \cos\left(\sqrt{\frac{2m}{\hbar^2}} (U_0 - |E|) x\right), & -a < x < a; \\ B_1 \exp\left(-\sqrt{\frac{2m}{\hbar^2}} |E| x\right), & x \geq a. \end{cases} \quad (9)$$

Можливі значення енергії другого класу розв'язків є коренями рівняння

$$\sqrt{(U_0 - |E|)} \operatorname{ctg}\left(\sqrt{2m(U_0 - |E|)} \frac{a}{\hbar}\right) = -\sqrt{|E|}, \quad (8a)$$

кожному значенню енергії відповідає непарна хвильова функція

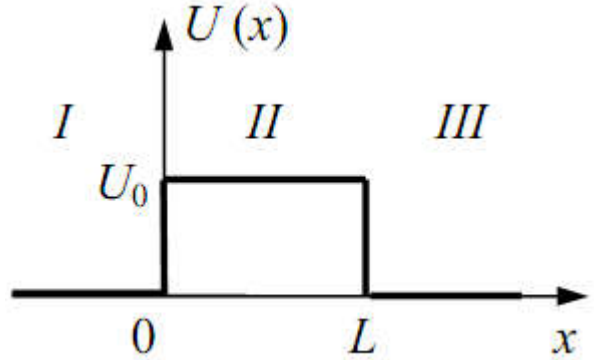
$$\psi(x) = \begin{cases} B_1 \exp\left(\sqrt{\frac{2m}{\hbar^2}} |E| x\right), & x \leq -a; \\ B_2 \sin\left(\sqrt{\frac{2m}{\hbar^2}} (U_0 - |E|) x\right), & -a < x < a; \\ -B_1 \exp\left(-\sqrt{\frac{2m}{\hbar^2}} |E| x\right), & x \geq a. \end{cases} \quad (10)$$

Зв'язок між константами  $B_1$  та  $A_2$  ( $B_2$ ) можна знайти, використавши умову нормування хвильової функції:

$$A_2^2 = B_2^2 = \frac{1}{a} \left[ 1 - \frac{k^2 + \beta^2}{k^2 \beta} B_1^2 \exp(-2\beta a) \right]. \quad (11)$$

**Задача 8.** Залежність потенціальної енергії частинки масою  $m$  від координати описується виразом  $U(x) = \begin{cases} 0, & x \leq 0, x \geq L \\ U_0, & 0 < x < L \end{cases}$ . Частинка рухається з області від'ємних значень координати в бік її зростання з енергією  $E < U_0$ . Знайти коефіцієнт прозорості даного потенціального бар'єру  $D$ .

*Розв'язок.* Вигляд залежності потенціальної енергії від координати наведено на рисунку. Розіб'ємо весь простір на три області, які відрізняються величиною потенціальної енергії: область *I*, де  $x \leq 0$ ,  $U = 0$ ; область *II*, де  $0 < x < L$ ,  $U = U_0$  та область *III*, де  $x \geq L$ ,  $U = 0$ ; і запишемо рівняння Шрьодінгера для кожної області окремо:



$$\begin{aligned} \frac{\hbar^2}{2m} \frac{d^2 \psi_I}{dx^2} + E \psi_I &= 0; \\ \frac{\hbar^2}{2m} \frac{d^2 \psi_{II}}{dx^2} - (U_0 - E) \psi_{II} &= 0; \\ \frac{\hbar^2}{2m} \frac{d^2 \psi_{III}}{dx^2} + E \psi_{III} &= 0. \end{aligned} \quad (1)$$

Введемо позначення

$$k^2 = \frac{2m}{\hbar^2} E, \quad \gamma^2 = \frac{2m}{\hbar^2} (U_0 - E). \quad (2)$$

Зазначимо, що так як  $E > 0$ , то і  $k$ , і  $\gamma$  є дійсними. Тепер систему рівнянь (1) можна записати у вигляді

$$\begin{aligned} \frac{d^2 \psi_I}{dx^2} + k^2 \psi_I &= 0; \\ \frac{d^2 \psi_{II}}{dx^2} - \gamma^2 \psi_{II} &= 0; \\ \frac{d^2 \psi_{III}}{dx^2} + k^2 \psi_{III} &= 0. \end{aligned} \quad (1a)$$

Її розв'язок має вигляд:

$$\begin{aligned} \psi_I &= A_1 \exp(-ikx) + B_1 \exp(ikx); \\ \psi_{II} &= A_2 \exp(-\gamma x) + B_2 \exp(\gamma x); \\ \psi_{III} &= A_3 \exp(-ikx) + B_3 \exp(ikx), \end{aligned} \quad (3)$$



де  $A_i$  та  $B_i$  ( $i = \overline{1, 3}$ ) – нормувальні коефіцієнти. Фактично, перший доданок у формулах для  $\psi_I$  та  $\psi_{III}$  описує плоску хвилю, яка поширюється у бік зменшення координати  $x$ , а другий – хвилю, що поширюється у протилежному напрямі. Так як за умовою задачі частинка рухається і бік зростання координати, то можемо покласти  $A_1 = 0$ ,  $A_3 = 0$ . Згідно з класичними уявленнями частинка не може перебувати у області, де її повна енергія менша потенційної (область  $0 < x < L$  в нашому випадку). Щоб це врахувати забезпечимо зменшення хвильової функції  $\psi_{II}$  (а отже, і густини імовірності знаходження частинки) при віддалені від точки з координатою  $x = 0$  – точки з максимальним значенням абсциси, куди може потрапити частинка відповідно до класичних уявлень. Для цього покладемо  $B_2 = 0$ .<sup>\*</sup> З врахуванням цього систему (3) можна переписати у вигляді

$$\begin{aligned}\psi_I &= B_1 \exp(ikx); \\ \psi_{II} &= A_2 \exp(-\gamma x) \\ \psi_{III} &= B_3 \exp(ikx).\end{aligned}\tag{3a}$$

Для забезпечення неперервності хвильової функції необхідно, щоб

$$\begin{aligned}\psi_{II}(x=0) &= \psi_I(x=0); \\ \psi_{II}(x=L) &= \psi_{III}(x=L).\end{aligned}\tag{4}$$

Підставивши в (4) вирази (3a) отримуємо

$$\begin{aligned}A_2 &= B_1; \\ A_2 \exp(-\gamma L) &= B_3 \exp(ikL).\end{aligned}\tag{5}$$

Коефіцієнт прозорості бар'єру може бути визначений як відношення ймовірностей перебування частинки за бар'єром та перед ним, тобто

$$D = \frac{|\psi_{III}|^2}{|\psi_I|^2}.\tag{6}$$

Враховуючи вирази (3a) та (5), можемо остаточно записати

---

<sup>\*</sup> Загалом, при більш строгому розв'язку прирівнювати до нуля можна лише коефіцієнт  $A_3$ . Проте і в цьому випадку вираз для коефіцієнта прозорості бар'єру буде мати такий самий вигляд, як і в нашому.

$$D = \frac{|B_3 \exp(ikx)|^2}{|B_1 \exp(ikx)|^2} = \frac{|B_3|^2}{|B_1|^2} = \frac{|A_2 \exp(-\gamma L) \exp(-ikL)|^2}{|B_1|^2} = \exp(-2\gamma L),$$

$$D = \exp\left(-\frac{2L}{\hbar} \sqrt{2m(U_0 - E)}\right).$$

**Задача 9.** Для 1s-електрону в атомі водню визначити

а) середнє значення його відстані від ядра  $\langle r \rangle$ ;

б) найбільшу імовірну відстань від ядра  $r_{\text{ім}}$  та імовірність  $P$  знаходження електрону в області  $r < r_{\text{зі}}$ .

*Розв'язок.*

а) Середнє значення фізичної величини  $F$  у стані, який описується хвильовою функцією  $\psi$ , знаходиться за допомогою формули

$$\langle F \rangle = \int \psi^* \hat{F} \psi dV,$$

де  $\hat{F}$  - оператор фізичної величини. Оператор відстані  $\hat{r} = r$ , стан 1s-електрону в атомі водню описується функцією  $\psi_{1s} = A \exp(-r/r_1)$  (де  $A$  - нормувальний коефіцієнт,  $r_1 = \frac{4\pi\epsilon_0\hbar^2}{me^2}$  - константа), тому

$$\langle r \rangle = \iiint \psi_{1s}^* r \psi_{1s} r^2 \sin\theta dr d\theta d\varphi. \quad (1)$$

У формулі (1) враховано, що у сферичній системі координат  $dV = r^2 \sin\theta dr d\theta d\varphi$ . Перед тим, як проводити обчислення за формулою (1), знайдемо коефіцієнт  $A$  використовуючи умову нормування:

$$\iiint \psi_{1s}^* \psi_{1s} r^2 \sin\theta dr d\theta d\varphi = 1. \quad (2)$$

Таким чином

$$\begin{aligned} 1 &= \iiint A^* \exp(-r/r_1) A \exp(-r/r_1) r^2 \sin\theta dr d\theta d\varphi = \\ &= A^2 \int_0^\pi \sin\theta d\theta \int_0^{2\pi} d\varphi \int_0^\infty \exp\left(-\frac{2r}{r_1}\right) r^2 dr = A^2 \cdot 2 \cdot 2\pi \cdot \int_0^\infty \exp\left(-\frac{2r}{r_1}\right) r^2 dr \end{aligned}$$

Для знаходження останнього інтегралу використаємо формулу інтегрування по частинах та скористаємось тим, що  $\exp(-2r/r_1) dr = -\frac{r_1}{2} d(\exp(-2r/r_1))$ :

$$\begin{aligned} 4\pi A^2 \int_0^\infty \exp(-2r/r_1) r^2 dr &= 4\pi A^2 \left(-\frac{r_1}{2}\right) \int_0^\infty r^2 d(\exp(-2r/r_1)) = \\ &= -2\pi A^2 r_1 \cdot \left[ r^2 \exp(-2r/r_1) \Big|_0^\infty - \int_0^\infty \exp(-2r/r_1) d(r^2) \right] \end{aligned}$$

Перший доданок у дужках, який складається з двох множників, рівний нулеві і на верхній і на нижній границі: на верхній через те що другий множник значно швидше спадає, ніж перший зростає; а на нижній – бо перший множник нуль, а другий обмежений (одиниця). Крім того,  $d(r^2) = 2r dr$ , тому

$$\begin{aligned} &-2\pi A^2 r_1 \cdot \left[ r^2 \exp(-2r/r_1) \Big|_0^\infty - \int_0^\infty \exp(-2r/r_1) d(r^2) \right] = \\ &= 4\pi A^2 r_1 \cdot \int_0^\infty \exp(-2r/r_1) r dr = 4\pi A^2 r_1 \cdot \left(-r_1/2\right) \int_0^\infty r d(\exp(-2r/r_1)) = \\ &= -2\pi A^2 r_1^2 \cdot \left[ r \exp(-2r/r_1) \Big|_0^\infty - \int_0^\infty \exp(-2r/r_1) dr \right] = \\ &= 2\pi A^2 r_1^2 \cdot \int_0^\infty \exp(-2r/r_1) dr = 2\pi A^2 r_1^2 \cdot \left(-r_1/2\right) \exp(-2r/r_1) \Big|_0^\infty = \pi A^2 r_1^3. \end{aligned}$$

Таким чином,

$$A^2 = 1/\pi r_1^3. \quad (3)$$

Скористаємось тепер безпосередньо виразом (1) для знаходження  $\langle r \rangle$  (під час інтегрування застосовуватимуться ті ж самі прийоми, що описані вище):

$$\begin{aligned} \langle r \rangle &= \iiint A^* \exp(-r/r_1) r A \exp(-r/r_1) r^2 \sin\theta dr d\theta d\varphi = \\ &= \frac{1}{\pi r_1^3} \int_0^\pi \sin\theta d\theta \int_0^{2\pi} d\varphi \int_0^\infty \exp\left(-\frac{2r}{r_1}\right) r^3 dr = \frac{1}{\pi r_1^3} \cdot 2 \cdot 2\pi \cdot \int_0^\infty \exp(-2r/r_1) r^3 dr = \end{aligned}$$

$$\begin{aligned}
&= \frac{4}{r_1^3} \cdot \left( -\frac{r_1}{2} \right) \int_0^\infty r^3 d(\exp(-2r/r_1)) = \\
&= -\frac{2}{r_1^2} \cdot \left[ r^3 \exp\left(-\frac{2r}{r_1}\right) \Big|_0^\infty - \int_0^\infty \exp\left(-\frac{2r}{r_1}\right) d(r^3) \right] = \\
&= \frac{6}{r_1^2} \cdot \int_0^\infty \exp(-2r/r_1) r^2 dr = \frac{6}{r_1^2} \cdot \left( -\frac{r_1}{2} \right) \int_0^\infty r^2 d(\exp(-2r/r_1)) = \\
&= -\frac{3}{r_1} \cdot \left[ r^2 \exp(-2r/r_1) \Big|_0^\infty - \int_0^\infty \exp(-2r/r_1) d(r^2) \right] = \frac{6}{r_1} \int_0^\infty \exp(-2r/r_1) r dr = \\
&= \frac{6}{r_1} \cdot \left( -\frac{r_1}{2} \right) \int_0^\infty r d(\exp(-2r/r_1)) = -3 \cdot \left[ r \exp(-2r/r_1) \Big|_0^\infty - \int_0^\infty \exp(-2r/r_1) dr \right] = \\
&= 3 \cdot \left( -\frac{r_1}{2} \right) \exp(-2r/r_1) \Big|_0^\infty = \frac{3}{2} r_1
\end{aligned}$$

$$\langle r \rangle = \frac{3}{2} r_1. \quad (4)$$

б) Для знаходження найбільш імовірної відстані необхідно знайти, при яких значеннях  $r$  функція, що визначає імовірність  $\omega(r, \theta, \varphi) = |\psi(r, \theta, \varphi)|^2 dV$ , приймає максимальне значення, тобто обчислити при яких  $r$  функція  $\partial \omega(r, \theta, \varphi) / \partial r = 0$ . Врахувавши явний вигляд  $\psi_{1s}$  можемо записати:

$$\omega(r, \theta, \varphi) = A^2 \exp(-2r/r_1) r^2 \sin \theta dr d\theta d\varphi,$$

$$\partial \omega / \partial r = A^2 [2r \cdot \exp(-2r/r_1) - r^2 \cdot (2/r_1) \cdot \exp(-2r/r_1)] \sin \theta dr d\theta d\varphi = 0,$$

тобто

$$2r \cdot \exp(-2r/r_1) \left[ 1 - \frac{r}{r_1} \right] = 0. \quad (5)$$

З рівності (5) видно, що  $\partial \omega / \partial r = 0$  при 1)  $r = 0$ ; 2)  $r \rightarrow \infty$ ; 3)  $r = r_1$ . Можна переконатися, що перші два корені відповідають мінімуму функції  $\omega$ , а третій – максимуму. Тобто

$$r_{3_1} = r_1. \quad (6)$$

Імовірність  $P$  знаходження електрону в області  $r < r_{3_1}$  може бути обчислена наступним чином:

$$\begin{aligned} P &= \int_0^{r_{3_1}} \int_0^\pi \int_0^{2\pi} \psi_{1S}^* \psi_{1S} dV = \frac{1}{\pi r_1^3} \int_0^\pi \sin \theta d\theta \int_0^{2\pi} d\varphi \int_0^{r_1} \exp\left(-\frac{2r}{r_1}\right) r^2 dr = \\ &= 1 - 5 \exp(-2) \approx 0.32 \end{aligned}$$

## Задачі для самостійного розв'язку

1. Електрон, початковою швидкістю якого можна знехтувати, пройшов прискорюючу різницю потенціалів  $U$ . Знайти довжину хвилі де Бройля цього електрону у двох випадках: 1)  $U=51$  В, 2)  $U=510$  кВ.
2. Кінетична енергія протона  $T = 1$  кеВ. Визначити додаткову енергію  $\Delta T$ , яку необхідно йому надати, щоб його довжина хвилі де Бройля зменшилась в  $\eta$  разів.
3. Кінетична енергія  $T$  електрона дорівнює подвоєному значенню його енергії спокою. Визначити довжину хвилі  $\lambda$  де Бройля для такого електрона.
4. При якому значенні швидкості електрона його імпульс дорівнює імпульсу фотона з довжиною хвилі  $\lambda = 1$  нм?
5. Знайти довжину хвилі фотона, імпульс якого дорівнює імпульсу електрона з кінетичною енергією  $T = 0,3$  МеВ.
6. При аналізі розсіяння  $\alpha$ -частинок (досліди Резерфорда) прицільні відстані приймалися порядку  $0,1$  нм. Хвильові властивості  $\alpha$ -частинок при цьому не враховувались. Чи припустимо це, якщо енергія  $\alpha$ -частинок приблизно дорівнювала  $7,7$  МеВ?
7. Частинка масою  $m$  рухається в потенціальному полі  $U(x) = \begin{cases} 0, & x < 0; \\ -U_0, & x \geq 0 \end{cases}$ .

Швидкість частинки в області  $x < 0$  дорівнює  $v_1$ . Знайти показник заломлення потенціального бар'єру, розташованого при  $x=0$ .

8. Розподіл молекул певного газу за модулем їх швидкості описується формулою Максвелла. Запишіть розподіл молекул за дебройлівськими довжинами хвиль та визначте найбільш імовірну довжину  $\lambda_{\text{ім}}$ . При обчисленнях вважати, що температура газу дорівнює  $T$ , маса однієї молекули -  $m$ , їх концентрація -  $n$ .
9. Знайти кінетичну енергію електронів, що падають на діафрагму з двома вузькими щілинами, якщо на екрані, розташованому на відстані  $l = 75$  см від діафрагми, відстань між сусідніми максимумами  $\Delta x = 7,5$  мкм. Відстань між щілинами  $d = 25$  мкм.
10. Визначити найбільшу та найменшу довжини хвиль, що відповідають серії Лаймана для атому водню.

11. Користуючись теорією Бора, обчислити радіус n-тої дозволеної орбіти, а також період обертання електрона на ній.
12. Знайти відношення кінетичної та потенціальної енергій електрона, що рухається на n-тій дозволений за теорією Бора орбіті.
13. На якій збудженій орбіті знаходиться електрон, якщо, повертаючись у основний стан, він може випромінити 5050 різних довжин хвиль.
14. Визначити номер збудженої орбіти, на якій перебував електрон в атомі водню, якщо в результаті поглинання фотону з довжиною хвилі  $\lambda$ , він вилетів за межі атому з кінетичною енергією  $T$ .
15. Скільки довжин хвиль де Бройля вкладається на дозволених за теорією Бора електронних орбітах?
16. Знайти комутатор операторів
  - а)  $\hat{A} = x$  та  $\hat{B} = \frac{d}{dx}$ ;
  - б)  $\hat{A} = i\hbar\nabla$  та  $\hat{B} = f(\vec{r})$ ;
  - в)  $\hat{A} = \frac{\partial^2}{\partial x^2}$  та  $\hat{B} = \frac{\partial}{\partial y}$ ;
  - г)  $\hat{A} = 4\frac{\partial^2}{\partial x\partial y}$  та  $\hat{B} = \frac{\partial}{\partial y}$ ;
  - д)  $\hat{A} = 4y^2$  та  $\hat{B} = \frac{d}{dx}$ .
17. Знайти оператор, спряжений до добутка двох операторів  $\hat{A} \cdot \hat{B}$ .
18. Довести самоспряженість оператора а)  $\hat{A} = x$ ; б)  $\hat{A} = i\frac{\partial}{\partial y}$ .
19. Відомо, що  $[\hat{A}, \hat{B}] = 1$ . Знайти комутатор  $[\hat{A}, \hat{B}^2]$ .
20. Довести, що  $\hat{A}^{-1} \hat{B}^2 \hat{A} = \left( \hat{A}^{-1} \hat{B} \hat{A} \right)^2$ .
21. Довести наступні рівності: а)  $[\hat{A}, \hat{B} + \hat{C}] = [\hat{A}, \hat{B}] + [\hat{A}, \hat{C}]$ ; б)  $[\hat{A}, \hat{B}\hat{C}] = [\hat{A}, \hat{B}]\hat{C} + \hat{B}[\hat{A}, \hat{C}]$ .

22. Знайти власне значення оператора  $\hat{A}$ , що належить власній функції  $\psi_A$ :

а)  $\hat{A} = -\frac{d^2}{dx^2} + x^2$ ,  $\psi_A = \exp\left(-\frac{x^2}{2}\right)$ ;

б)  $\hat{A} = \frac{d^2}{dx^2} + \frac{2}{x} \frac{d}{dx}$ ,  $\psi_A = \frac{\sin \alpha x}{x}$ , де  $\alpha$  - стала.

23. Знайти власні функції та власні числа операторів:

а)  $\frac{d}{dx}$ ; б)  $i \frac{d}{dx}$ ; в)  $\left(x + \frac{d}{dx}\right)$ ; г)  $\exp\left(ia \frac{d}{d\phi}\right)$ ; д)  $\frac{d^2}{d\phi^2}$ .

24. Знайти власні значення оператора імпульсу  $\hat{p} = -i\hbar \nabla$  та відповідні власні функції.

25. Побудувати оператор моменту імпульсу  $\hat{L}$  у прямокутній декартовій системі координат.

26. Знайти комутатори наступних компонент моменту імпульсу:

а)  $[\hat{L}_y, \hat{L}_z]$ ;

б)  $[\hat{L}_x, \hat{L}_z]$ ;

в)  $[\hat{L}_z, \hat{L}_z]$ .

27. Знайти правила комутації наступних операторів: а)  $\hat{L}_x$  та  $\hat{p}_x$ ;

б)  $\hat{L}_x$  та  $\hat{p}_y$ ; в)  $\hat{L}_x$  та  $\hat{p}_z$ .

28. Знайти комутатори оператора квадрату моменту імпульсу

$$\hat{L}^2 = \hat{L}_x^2 + \hat{L}_y^2 + \hat{L}_z^2 \text{ з оператором}$$

а)  $\hat{L}_x$ ;

б)  $\hat{L}_y$ ;

в)  $\hat{L}_z$ .



29. Відомо, що власна функція одновимірної системи у певному стані має вигляд  $\psi(x) = C \exp\left(-\frac{x^2}{a^2} + ik_0 x\right)$ , де  $a$  та  $k_0$  – відомі константи.

Знайти:

- а) величину константи  $C$ ;
- б) середнє значення координати  $\langle x \rangle$  у цьому стані;
- в) середнє значення імпульсу  $\langle p \rangle$  у цьому стані;
- г) середнє значення квадрату відхилення координати  $\langle \Delta x^2 \rangle$  у цьому стані.

30. Визначити середнє значення фізичної величини, що описується оператором  $\hat{L}_z^2$  в стані, який описується функцією  $\psi(\varphi) = C \sin^2 \varphi$  ( $C$  – невідома константа).

31. Частинка масою  $m$  рухається в потенціальному полі  $U(x) = \begin{cases} 0, & x < 0; \\ -U_0, & x \geq 0 \end{cases}$ . Швидкість частинки в області  $x < 0$  дорівнює  $v_1$ .

Знайти показник заломлення потенціального бар'єру, розташованого при  $x=0$ .

32. Розподіл молекул певного газу за модулем їх швидкості описується формулою Максвелла. Запишіть розподіл молекул за дебройлівськими довжинами хвиль та визначте найбільш імовірну довжину  $\lambda_{\text{ім}}$ . При обчисленнях вважати, що температура газу дорівнює  $T$ , маса однієї молекули –  $m$ , їх концентрація –  $n$ .

33. На яку кінетичну енергію має бути розрахований прискорювач заряджених частинок масою  $m$ , щоб за допомогою потоку даних частинок можна було досліджувати структури з лінійними розмірами  $l$ ? Провести розрахунки для випадку, коли частинками є електрони та протони, а  $l \sim 1$  фм.

34. Знайти кінетичну енергію електронів, що падають на діафрагму з двома вузькими щілинами, якщо на екрані, розташованому на відстані  $l = 75$  см від діафрагми, відстань між сусідніми максимумами  $\Delta x = 7,5$  мкм. Відстань між щілинами  $d = 25$  мкм.

35. Кінетична енергія електрона в атомі водню складає величину порядку  $K = 10$  еВ. Використовуючи співвідношення невизначеності, оцінити мінімальні лінійні розміри атому.
36. Визначити відносну невизначеність  $\Delta p/p$  імпульсу рухомої частинки, якщо припустити, що невизначеність її координати дорівнює довжині хвилі де Бройля.
37. Оцінити за допомогою співвідношення невизначеностей мінімальну кінетичну енергію електрону, що рухається всередині сферичної області діаметром  $d = 0,1$  нм.
38. Атом випроменив фотон з довжиною хвилі  $\lambda = 0,58$  мкм за час  $\tau \approx 10^{-8}$  с. Оцінити невизначеність  $\Delta x$ , з якою можна визначити координату фотону в напрямі його руху, а також відносну невизначеність його довжини хвилі.
39. Деяка система знаходиться у стаціонарному стані, який описується хвильовою функцією  $\Phi(x, t)$ . Чи буде залежати від часу густина ймовірності знайти систему у точці з координатою  $x$ ?
40. Знайти власні значення енергії та хвильову функцію вільної частинки.
41. Визначити густину ймовірності знайти частинку в точці з координатою  $x$ , якщо її хвильова функція а)  $\psi(x, t) = C \exp(ikx)$ ; б)  $\psi(x, t) = C [\exp(ikx) + \exp(-ikx)]$ , де  $C$  – стала.
42. Частинка, яка перебуває в нескінченно глибокій потенціальній ямі, знаходиться в основному стані. Яка ймовірність виявлення частинки: а) в середній третині ящика; б) в крайній третині ящика?
43. Частинка, яка перебуває в нескінченно глибокій потенціальній ямі шириною  $2a$  знаходиться у збудженому стані, який характеризується квантовим числом  $n = 3$ . Визначити, в яких точках інтервалу  $[-a, a]$  густина ймовірності знаходження частинки має максимальне і мінімальне значення.
44. Електрон знаходиться в прямокутній потенціальній ямі з нескінченно високими стінками. Ширина ями  $2a = 0,2$  нм, енергія

електрона -  $E = 37.8 \text{ eV}$ . Визначіть номер  $n$  енергетичного рівня і модуль хвильового вектора  $\vec{k}$  електрону.

45. Електрон знаходиться в нескінченно глибокій одновимірній прямокутній потенціальній ямі шириною  $2a$ . В яких точках інтервалу  $[-a, a]$  густина ймовірності знаходження електрона на другому та третьому енергетичному рівнях однакові? Розв'язок пояснити графічно.
46. Частинка, яка перебуває в нескінченно глибокій прямокутній потенціальній ямі, який характеризується квантовим числом  $n = 2$ . Яка ймовірність виявити частинку в крайній чверті ящика?
47. У скільки разів змінюється енергія частинки після її тунелювання через потенціальний бар'єр висотою  $U$  та шириною  $l$ ?
48. Частинка масою  $m$  перебуває в основному стані у потенціальному полі  $U = kx^2/2$ , а її хвильова функція має вигляд:  $\psi(x) = A \exp(-\alpha x^2)$ , де  $A$  – коефіцієнт нормування,  $\alpha$  – додатна стала. За допомогою рівняння Шрьодінгера знайти величину  $\alpha$  та енергію частинки у цьому стані.
49. Електрон в атомі водню знаходиться в основному стані, що описується хвильовою функцією  $\psi = A \exp(-r/r_1)$ . За допомогою рівняння Шрьодінгера знайти енергію  $E$  електрона та величину  $r_1$ .
50. Визначити для  $1s$ -електрона в атомі водню середні значення його квадрату відстані від ядра  $\langle r^2 \rangle$  та квадрату середнього відхилення  $\langle (r - \langle r \rangle)^2 \rangle$ .
51. Знайти для  $2p$ - та  $3d$ -електронів в атомі водню а) найбільш ймовірну відстань від ядра; б) середнє квадратичне відхилення  $\langle (r - \langle r \rangle)^2 \rangle$ .
52. Побудувати можливі терми для наступних електронних конфігурацій
- а)  $n p^1 d^1$ ;
  - б)  $n s^1 d^1$ ;
  - в)  $n d^1 f^1$ ;

- г)  $n p^2$ ;
- д)  $n d^2$ ;
- е)  $n_1 s^1 n_2 p^2$ ;
- є)  $n_1 p^1 n_2 p^2$ .

53. Знайти максимально можливий повний механічний момент та відповідне спектральне позначення терма атому

- а) Na, валентний електрон якого має головне квантове число 4;
- б) з електронною конфігурацією  $1 s^2 2 p^1 3 d^1$ .

54. Знайти можливі значення повних механічних моментів атомів, які знаходяться в стані

- а)  $^4P$ ;
- б)  $^5D$ .

55. Відомо, що у  $F$ -стані кількість можливих значень квантового числа  $J$  дорівнює п'яти. Визначити спіновий механічний момент в цьому стані.

56. Атом знаходиться у стані, мультиплетність якого дорівнює трьом, а повний механічний момент –  $\hbar\sqrt{20}$ . Яким може бути відповідне квантове число  $L$ ?

57. Використовуючи правила Гунда знайти основний терм атома, електронна конфігурація незаповненої підоболонки якого

- а)  $n d^2$ ;
- б)  $n d^3$ ;
- в)  $n f^{10}$ ;
- г)  $n f^4$ .

58. Користуючись правилами Гунда написати основний терм атома, єдина незаповнена підоболонка якого містить третину від можливого числа електронів і  $S = 1$ .

59. Скориставшись правилами Гунда, знайти число електронів у єдиній незаповненій підоболонці атома, основний терм якого

- а)  $^3F_2$ ;
- б)  $^2P_{3/2}$ ;
- в)  $^6S_{5/2}$ .

60. Схематично намалювати енергетичні рівні, пов'язані з термами  $^1D_2$  та  $^1P_1$  за відсутності магнітного поля та при його наявності. Вказати можливі переходи.

61. Визначити фактор Ланде для наступних термів:

а)  ${}^5F_2$ ;

б)  ${}^5P_1$ .

62. Визначити спіновий механічний момент атому в стані  $D_2$ , якщо максимальне значення проекції магнітного моменту при цьому дорівнює чотирьом магнетонам Бора.

63. Атом знаходиться в магнітному полі з індукцією  $B = 0,25$  Тл. Підрахувати повну величину розщеплення терма

а)  ${}^1D$ ;

б)  ${}^3F_4$ .

64. Підрахувати дефект маси та енергію зв'язку ядра  ${}^7_3\text{Li}$ .

65. Знайти енергію зв'язку ядра, яке має однакове число протонів та нейтронів та радіус, у 1,5 разів менший за радіус ядра  ${}^{27}_{13}\text{Al}$ .

66. Вважаючи, що при одному поділі ядра  ${}^{235}_{92}\text{U}$  вивільняється енергія 200 МеВ, визначити

а) енергію, що виділяється при згорянні 1 кг ізоотопу  ${}^{235}_{92}\text{U}$  та масу вугілля з питомою теплотою згорання 30 кДж/г, еквівалентну 1 кг ізоотопу  ${}^{235}_{92}\text{U}$ ;

б) масу ізоотопу  ${}^{235}_{92}\text{U}$ , що поділився під час вибуху атомної бомби з тротиліним еквівалентом 30 кілотон, якщо тепловий еквівалент тротилу 4,1 кДж/г.

67. Записати позначення яких не вистачає в наступних ядерних реакціях

а)  ${}^{10}_5\text{B} (x, \alpha) {}^8_4\text{Be}$ ;

б)  ${}^{16}_8\text{O} (d, n) X$ ;

в)  ${}^{23}_{11}\text{Na} (p, x) {}^{20}_{10}\text{Ne}$ ;

г)  $X (p, n) {}^{37}_{18}\text{Ar}$ .

68. При зіткненні  $\alpha$ -частинки з ядром бора  ${}^{10}_5\text{B}$  відбулася ядерна реакція, в результаті якої утворилось два нових ядра. Одним з цих ядер було ядро атому водню  ${}^1_1\text{H}$ . Визначити другу ядро, написати символічно реакцію, визначити її енергетичний ефект.

69. Внаслідок радіоактивного розпаду  ${}^{238}_{92}\text{U}$  перетворюється у  ${}^{206}_{82}\text{Pb}$ . Скільки  $\alpha$ - та  $\beta$ -розпадів має місце у цьому випадку.

70. Визначити частку атомів радіоактивного стронцію  ${}^{90}_{38}\text{Sr}$ , що розпалися на протязі

а) 12 років;

б) 100 років.

Вважати, що період напіврозпаду стронцію  $T_{1/2} = 27$  років.

71. На сьогодні у природньому урані міститься 99,28%  $^{238}\text{U}$  та 0,72%  $^{235}\text{U}$ . Підрахувати вік Землі, якщо припустити, що у момент утворення планети кількості обох ізотопів були однакові. Вважати, що періоди напіврозпаду  $T_{1/2} (^{238}\text{U}) = 4,5 \cdot 10^9$  років,  $T_{1/2} (^{235}\text{U}) = 7,1 \cdot 10^8$  років.

72. Активність деякого препарату зменшується в  $n = 2,5$  разів за  $t = 7$  діб. Знайти його період напіврозпаду.

73. Визначити початкову активність радіоактивного препарату магнію  $^{27}\text{Mg}$  масою  $m = 2 \cdot 10^{-10}$  кг, а також його активність через час  $t = 6$  год. Період напіврозпаду препарату  $T_{1/2} = 10$  хв.

**ДОДАТОК. Хвильові функції електрона у кулонівському полі для  $n = 1 \div 3$**

Квантові числа			$\Psi_{nlm_l}(r, \theta, \varphi) = R_{nl}(r)Y_{lm_l}(\theta, \varphi)$
$n$	$l$	$m_l$	
1	0	0	$\frac{1}{\sqrt{\pi}} \left( \frac{Z}{r_0} \right)^{3/2} \cdot \exp\left( -\frac{Z}{r_0} r \right)$
2	0	0	$\frac{1}{4\sqrt{2}\pi} \left( \frac{Z}{r_0} \right)^{3/2} \left( 2 - \frac{Z}{r_0} r \right) \cdot \exp\left( -\frac{Z}{2r_0} r \right)$
2	1	0	$\frac{1}{4\sqrt{2}\pi} \left( \frac{Z}{r_0} \right)^{3/2} \left( \frac{Z}{r_0} r \right) \cdot \exp\left( -\frac{Z}{2r_0} r \right) \cdot \cos \theta$
2	1	+1	$\frac{1}{8\sqrt{\pi}} \left( \frac{Z}{r_0} \right)^{3/2} \left( \frac{Z}{r_0} r \right) \cdot \exp\left( -\frac{Z}{2r_0} r \right) \cdot \sin \theta \cdot \exp(i\varphi)$
2	1	-1	$\frac{1}{8\sqrt{\pi}} \left( \frac{Z}{r_0} \right)^{3/2} \left( \frac{Z}{r_0} r \right) \cdot \exp\left( -\frac{Z}{2r_0} r \right) \cdot \sin \theta \cdot \exp(-i\varphi)$
3	0	0	$\frac{1}{81\sqrt{3}\pi} \left( \frac{Z}{r_0} \right)^{3/2} \left( 27 - 18 \frac{Z}{r_0} r + 2 \left( \frac{Z}{r_0} r \right)^2 \right) \cdot \exp\left( -\frac{Z}{3r_0} r \right)$
3	1	0	$\frac{\sqrt{2}}{81\sqrt{\pi}} \left( \frac{Z}{r_0} \right)^{3/2} \left( 6 - \frac{Z}{r_0} r \right) \cdot \frac{Z}{r_0} r \cdot \exp\left( -\frac{Z}{3r_0} r \right) \cdot \cos \theta$
3	1	+1	$\frac{1}{81\sqrt{\pi}} \left( \frac{Z}{r_0} \right)^{3/2} \left( 6 - \frac{Z}{r_0} r \right) \cdot \frac{Z}{r_0} r \cdot \exp\left( -\frac{Z}{3r_0} r \right) \cdot \sin \theta \cdot \exp(i\varphi)$
3	1	-1	$\frac{1}{81\sqrt{\pi}} \left( \frac{Z}{r_0} \right)^{3/2} \left( 6 - \frac{Z}{r_0} r \right) \cdot \frac{Z}{r_0} r \cdot \exp\left( -\frac{Z}{3r_0} r \right) \cdot \sin \theta \cdot \exp(-i\varphi)$
3	2	0	$\frac{1}{81\sqrt{6}\pi} \left( \frac{Z}{r_0} \right)^{3/2} \left( \frac{Z}{r_0} r \right)^2 \cdot \exp\left( -\frac{Z}{3r_0} r \right) \cdot (3 \cos^2 \theta - 1)$
3	2	+1	$\frac{\sqrt{2}}{81\sqrt{\pi}} \left( \frac{Z}{r_0} \right)^{3/2} \left( \frac{Z}{r_0} r \right)^2 \cdot \exp\left( -\frac{Z}{3r_0} r \right) \cdot \sin \theta \cdot \cos \theta \cdot \exp(i\varphi)$

3	2	-1	$\frac{\sqrt{2}}{81\sqrt{\pi}}\left(\frac{Z}{r_0}\right)^{3/2}\left(\frac{Z}{r_0}r\right)^2 \cdot \exp\left(-\frac{Z}{3r_0}r\right) \cdot \sin\theta \cdot \cos\theta \cdot \exp(-i\varphi)$
3	2	+2	$\frac{1}{81\sqrt{2\pi}}\left(\frac{Z}{r_0}\right)^{3/2}\left(\frac{Z}{r_0}r\right)^2 \cdot \exp\left(-\frac{Z}{3r_0}r\right) \cdot \sin^2\theta \cdot \cos\theta \cdot \exp(i2\varphi)$
3	2	-2	$\frac{1}{81\sqrt{2\pi}}\left(\frac{Z}{r_0}\right)^{3/2}\left(\frac{Z}{r_0}r\right)^2 \cdot \exp\left(-\frac{Z}{3r_0}r\right) \cdot \sin^2\theta \cdot \cos\theta \cdot \exp(-i2\varphi)$



## ЛІТЕРАТУРА

### Основна

1. Ландау Л.Д. Квантовая механика. Нерелятивистская теория / Л.Д. Ландау, Е.М. Лифшиц – М. : ГИФМЛ "Наука", 1963. – Т.3 – 704 с.
2. Блохинцев Д.И. Основы квантовой механики / Д.И. Блохинцев – М. : ГРФМЛ "Наука", 1976. – 670 с.
3. Савельев И.В. Основы теоретической физики / И.В. Савельев – М. : ГРФМЛ "Наука", 1977. – Т.2 – 352 с.
4. Федорченко А.М. Теоретична фізика. Квантова механіка, термодинаміка і статистична фізика. Т.2./ Федорченко А. М. – Київ: Вища школа, 1993. – 378 с.
5. Вакарчук І.О. Квантова механіка / І.О. Вакарчук. – Львів: Вид-во ЛДУ, 1998. – 617 с.
6. Давыдов А.С. Квантовая механика / А.С. Давыдов. – М.: ГРФМЛ "Наука", 1973. – 704 с.
7. Сивухин Д.В. Общий курс физики. Атомная и ядерная физика. Ч.1./ Д.В. Сивухин. – М.: "Наука", 1984. – 416 с.
8. Шпольский Э.В. Атомная физика / Э.В.Шпольский – М.: "Наука", 1984. – Т. 1, 2.
9. Степанов Н.Ф. Квантовая механика и квантовая химия / Н.Ф. Степанов – М. Изд-во "Мир", 2001. – 519с.

### Додаткова

1. Джеммер М. Эволюция понятий квантовой механики / Макс Джеммер. ; пер. с англ. В.Н. Покровского, под ред. Л.И. Пономарева – М: ГРФМЛ "Наука", 1985.– 380 с.
2. Де Бройль Л. Соотношения неопределенностей Гейзенберга и вероятностная интерпретация квантовой механики / Л. Де Бройль. – М.: "Мир", 1986. – 340с.
3. Алексеев И.С. Концепция дополнительности / И.С. Алексеев, М.А. – М. : Изд-во "Наука", 1978. – 276 с.
4. Блохинцев Д.И. Принципиальные вопросы квантовой механики / Д.И. Блохинцев – М. : ГРФМЛ "Наука", 1987. – 152 с.
5. Гольдин Л.Л. Квантовая физика. Вводный курс. / Л.Л. Гольдин, Г.И. Новикова – Ижевск : АНО ИКС, 2002. – 490 с.
6. Карлов Н.В. Начальные главы квантовой механики / Н.В. Карлов, Н.А. Кириченко. – М.: ФИЗМАТЛИТ, 2004. – 360 с.

7. Мартинсон Л.К. Квантовая физика / Л.К. Мартинсон, Е.В. Смирнов. – М.: Изд-во МГТУ, 2004. – 496 с.
8. Барабанов А.Л. Квантовая механика / А.Л. Барабанов. – М. Изд-во МФТИ, 2005. – Ч. 1,2.